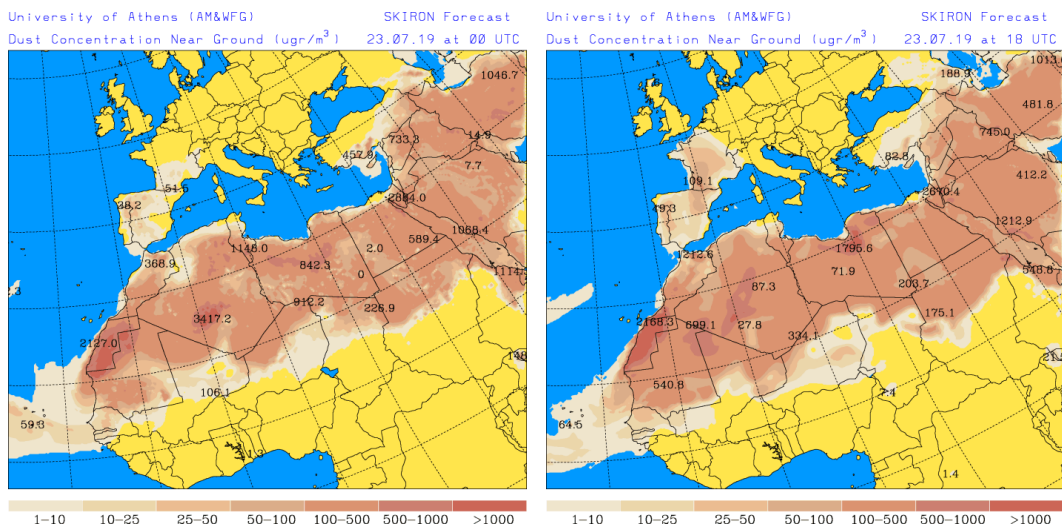


Predicción de intrusión de masas de aire africano sobre España, para el día 23 de julio de 2019

Durante el próximo día 23 de julio, se prevé que persista el actual evento de intrusión de polvo africano sobre la Península Ibérica. Los modelos consultados prevén altas concentraciones relativas de polvo mineral en zonas del tercio sur, del centro y del N peninsular que podrían aumentar hasta valores en el rango 40-80 $\mu\text{g}/\text{m}^3$ por la tarde. En zonas del SE, Levante y NE peninsular también se podrían registrar concentraciones de polvo en el rango 20-50 $\mu\text{g}/\text{m}^3$ durante la segunda mitad del día. También podrían producirse eventos de depósito seco de polvo en zonas del centro y del N de la península durante todo el día y en el resto de las regiones de la Península Ibérica, con excepción de zonas aisladas de Levante, por la tarde. Además se prevé que se puedan producir eventos de depósito húmedo de polvo en zonas del N y del SE peninsular a primeras horas del día y en zonas del centro, N y NO peninsular por la tarde.

23 de julio de 2019

Concentración de polvo ($\mu\text{g}/\text{m}^3$) predicha por el modelo Skiron para el día 23 de julio de 2019 a las 00 (izquierda) y a las 18 UTC (derecha). © Universidad de Atenas.

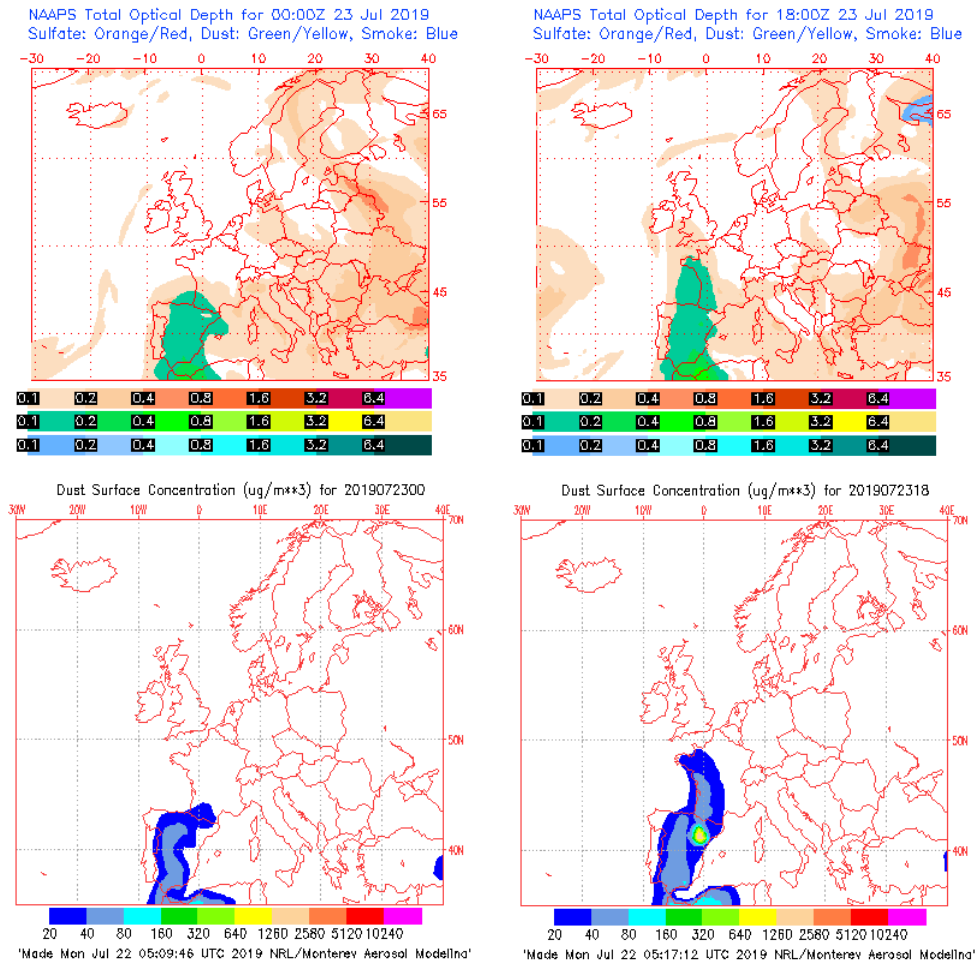


El modelo Skiron prevé por la mañana concentraciones de polvo mineral en el rango 25-50 $\mu\text{g}/\text{m}^3$ en zonas del tercio S, del NE, del N y del NO peninsular. Por la tarde, las concentraciones de polvo tenderán a aumentar en toda la península hasta valores por encima de los 50 $\mu\text{g}/\text{m}^3$ en zonas del NE peninsular.

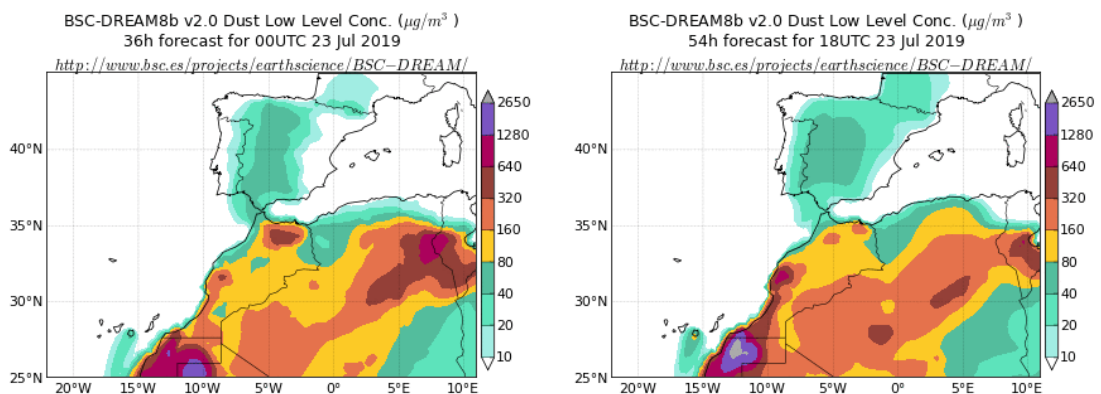
El modelo NAAPS prevé que durante todo el día se puedan registrar concentraciones de polvo mineral en el rango 40-80 $\mu\text{g}/\text{m}^3$ en zonas del tercio sur y del centro de la Península y en el rango 20-40 $\mu\text{g}/\text{m}^3$ en zonas del N, NE y Levante. Por la tarde este modelo prevé concentraciones muy elevadas ($>160 \mu\text{g}/\text{m}^3$) en una región del NE

peninsular, que podrían atribuirse probablemente a fenómenos de resuspensión de polvo a escala regional. Dichas.

Espesor óptico de aerosoles a 550 nm (arriba) y concentración de polvo a nivel de superficie (abajo) previstos por el modelo NAAPS para el día 23 de julio de 2019 a las 00 (izquierda) y a las 18 (derecha) UTC. ©Naval Research Laboratory (NRL), Monterey, CA

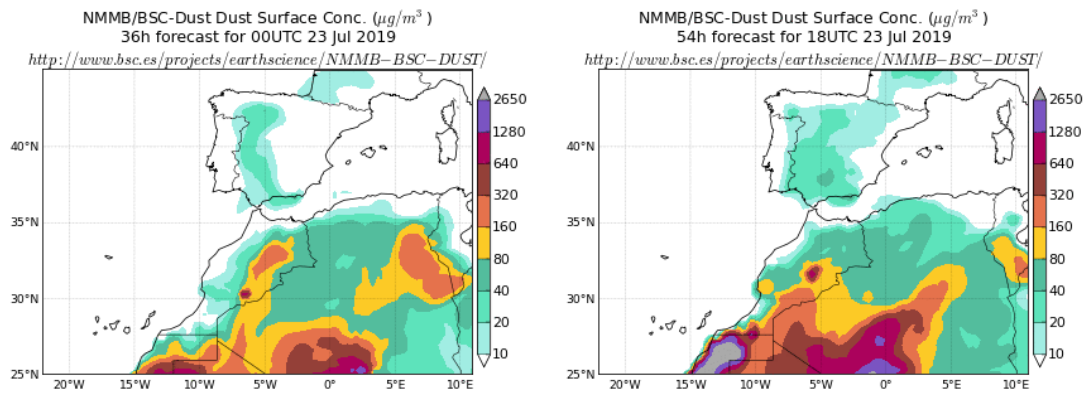


Concentración de polvo ($\mu\text{g}/\text{m}^3$) predicha por el modelo BSC-DREAM8b v2.0 para el día 23 de julio de 2019 a las 00 (izquierda) y a las 18 UTC (derecha). © Barcelona Supercomputing Center.



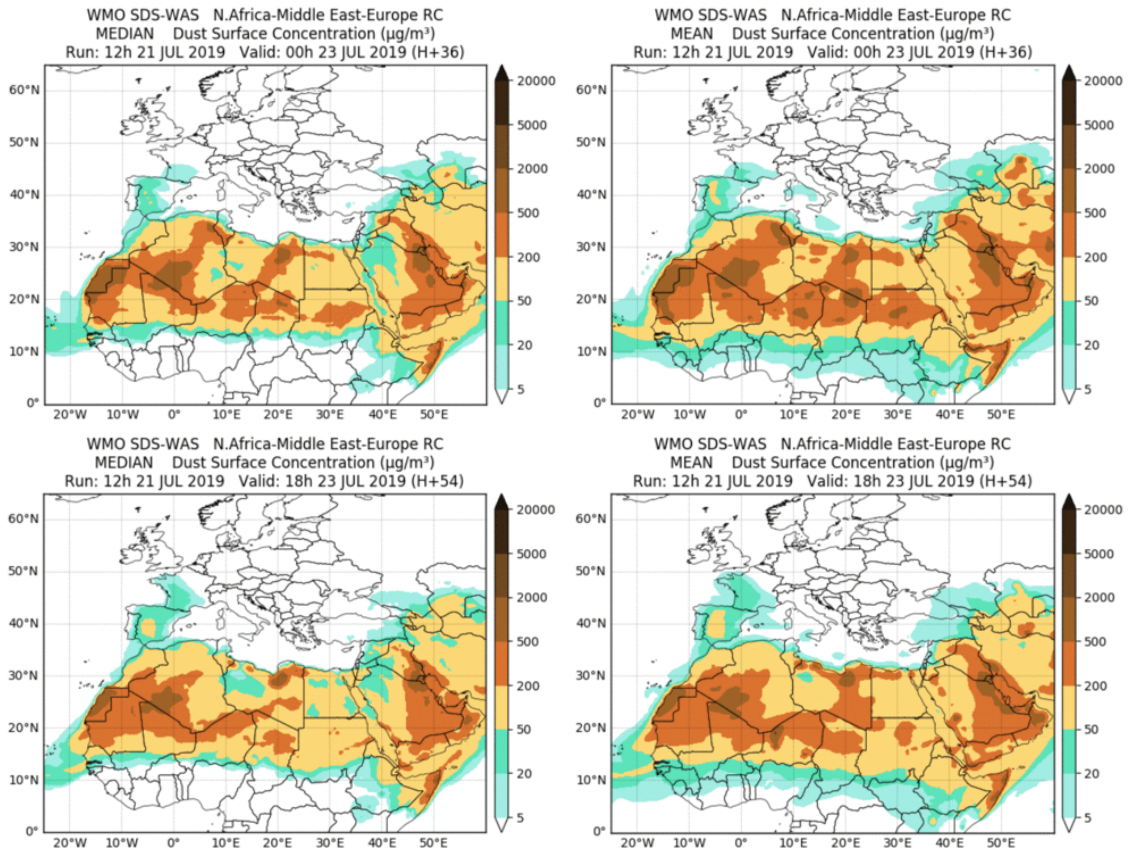
El modelo BSC-DREAM8b v2.0 prevé que podrían registrarse concentraciones de polvo mineral en el rango 40-80 $\mu\text{g}/\text{m}^3$ en zonas del SO, del centro y del N peninsular y en el rango 20-40 $\mu\text{g}/\text{m}^3$ en zonas del SE y NE peninsular. Este modelo también prevé concentraciones de polvo en el rango 20-160 $\mu\text{g}/\text{m}^3$ en la isla de Gran Canaria.

Concentración de polvo ($\mu\text{g}/\text{m}^3$) predicha por el modelo NMMB/BSC-Dust para el día 23 de julio de 2019 a las 00 (izquierda) y a las 18 UTC (derecha). © Barcelona Dust Forecast Center.



El modelo NMMB/BSC-Dust prevé concentraciones de polvo mineral en el rango 20-40 $\mu\text{g}/\text{m}^3$ en zonas del centro y del SE peninsular por la mañana y también zonas del SO y del NO por la tarde.

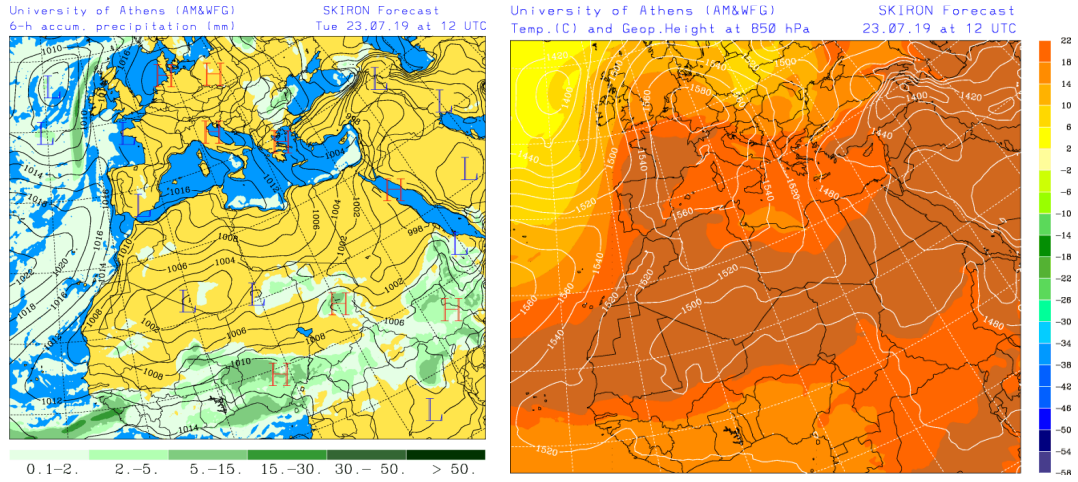
Resultados de la comparación de múltiples modelos de predicción de concentración de polvo (Mediana y Media en $\mu\text{g}/\text{m}^3$) para el día 23 de julio de 2019 a las 00h UTC (fila superior) y a las 18h UTC (fila inferior). Dicha comparación es realizada diariamente por el Centro Regional de la Organización Meteorológica Mundial (OMM) del Sistema de Evaluación y Avisos de Tormentas de Polvo y Arena para el Norte de África, Oriente Medio y Europa (SDS-WAS NAMEE RC; Sand and Dust Storm Warning Advisory and Assessment System Regional Center for Northern Africa, Middle East and Europe, <http://sds-was.aemet.es>). Dicho centro es gestionado conjuntamente por la Agencia Estatal de Meteorología (AEMET; <http://www.aemet.es/>) y el Barcelona Supercomputing Center-Centro Nacional de Supercomputación (BSC, <https://www.bsc.es/>).



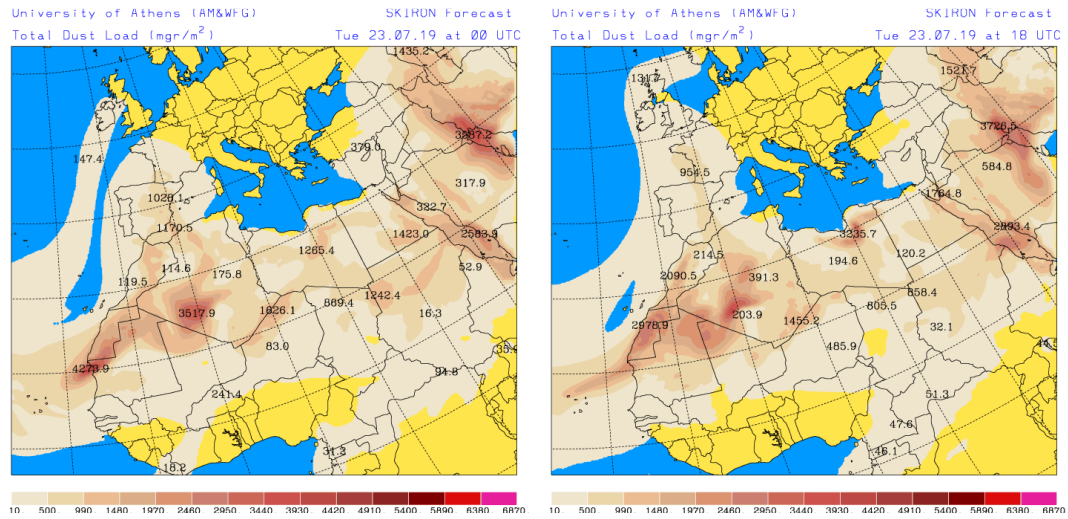
Los resultados de la intercomparación de modelos prevén un aumento de la concentración de polvo a lo largo de las horas principalmente en zonas del SO, centro, N y NO peninsular y en menor medida en zonas del SE, Levante y NE peninsular.

La presencia de altas presiones localizadas desde el norte de Argelia hasta el centro del continente europeo, dará continuidad previsiblemente al transporte de masas de aire desde el continente africano hasta la Península Ibérica.

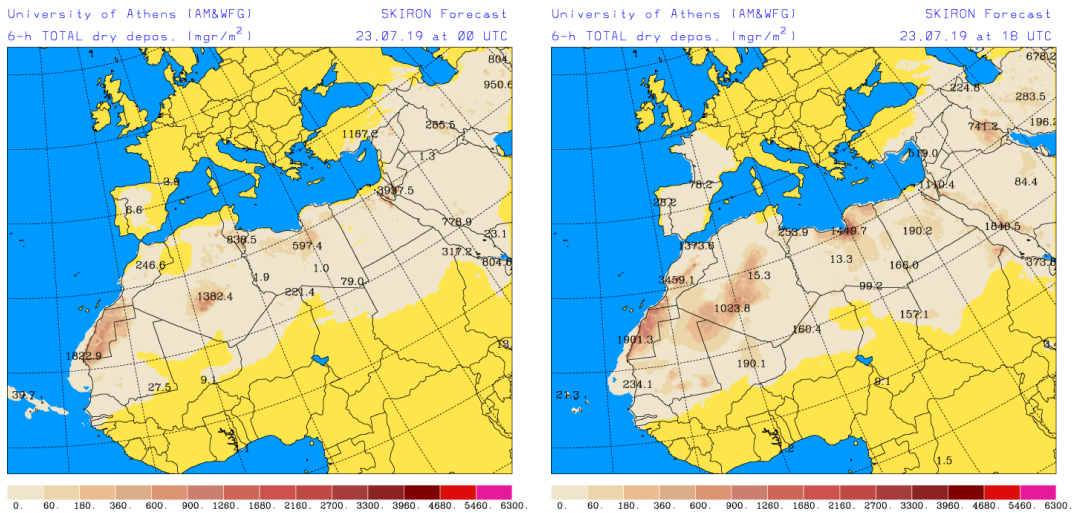
Campo de presión a nivel del mar (mb) y de precipitación (mm) (izquierda) y de temperaturas (°C) y de altura de geopotencial (m) a 850 hPa (derecha) previsto por el modelo Skiron para el día 23 de julio de 2019 a las 12 UTC. © Universidad de Atenas.



Carga total de polvo (mgr/m^2) predicha por el modelo Skiron para el día 23 de julio de 2019 a las 00 (izquierda) y a las 18 UTC (derecha). © Universidad de Atenas.

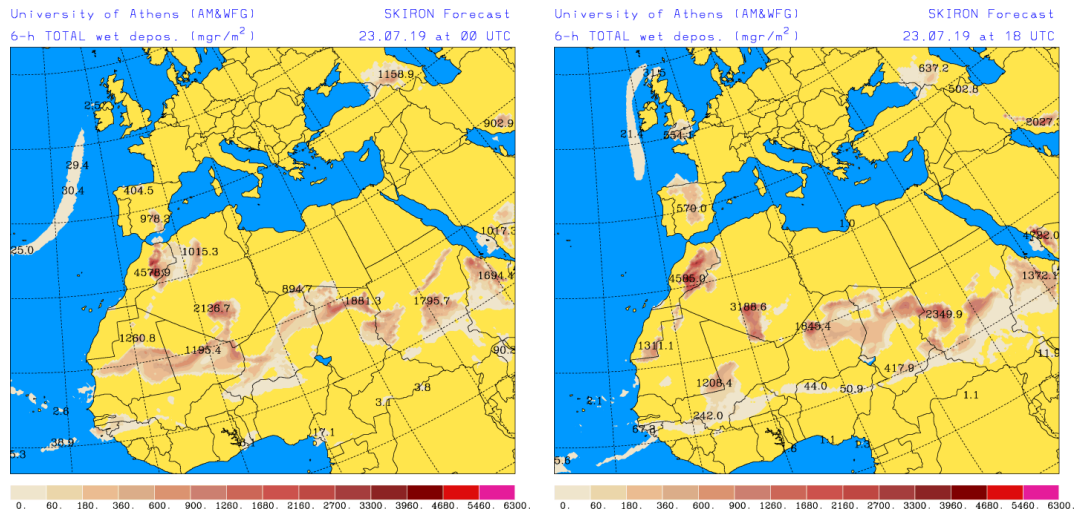


Dépósito seco de polvo (mg/m^2) predicho por el modelo Skiron para el día 23 de julio de 2019 a las 00 (izquierda) y a las 18 UTC (derecha). © Universidad de Atenas.



También podrían producirse eventos de depósito seco de polvo en zonas del centro y del N de la península durante todo el día 23 de julio. Por la tarde este tipo de eventos se podrían producir en toda la Península Ibérica con excepción de algunas zonas aisladas de Levante.

Depósito húmedo de polvo (mg/m^2) predicho por el modelo Skiron para el día 23 de julio de 2019 a las 00 (izquierda) y a las 18 UTC (derecha). © Universidad de Atenas.



Además se prevé que se puedan producir eventos de depósito húmedo de polvo en zonas del N y del SE peninsular a primeras horas del día y en zonas del centro, N y NO peninsular por la tarde.

Fecha de elaboración de la predicción: 22 de julio de 2019

Predicción elaborada por Pedro Salvador (CIEMAT)

Los datos son propiedad de la Dirección General de Calidad y Evaluación Ambiental, del Ministerio para la Transición Ecológica, y han sido obtenidos y se suministran en el marco del “Encargo del Ministerio para la Transición Ecológica a la Agencia Estatal Consejo Superior de Investigaciones Científicas para la detección de episodios naturales de aportes transfronterizos de partículas y otras fuentes de contaminación de material particulado, y de formación de ozono troposférico”.